

# 1 Molecular dynamics

## 1.1 1 Molecular Dynamics algorithms

*Discuss the algorithms for molecular dynamics modeling: Potentials, integration, cut-off, periodic boundary conditions, initialization, efficiency improvements.*

MD-simuleringer er en teknikk for å beregne likevekt- og transportegenskaper til et klassisk many-body system. Klassisk betyr at bevegelsen til legemene styres av den klassiske mekanikkens lover, dvs. Newtons lover. Det er ingen interne tilstander i atomene eller i deres interaksjoner, derfor vil posisjonene og hastighetene til alle partiklene være en fullstendig beskrivelse av systemet.

En simulering har følgende steg:

1. Lager et system med  $N$  partikler i en viss konfigurasjon og med gitte initialhastigheter
2. Løser Newtons bevegelseslikninger for system til egenskapene ikke forandrer seg i tid lenger, dvs. er i likevekt
3. Måler diverse egenskaper etter equilibration. Disse egenskapene må følgelig være uttrykt ved posisjonene og bevegelsesmengdene til partiklene

### 1.1.1 Initialization

Første steg er å initialisere system, dvs. angi posisjoner og hastigheter. Vi bruker en krystallstruktur som kalles face-centered cubic (FCC) lattice. Face-centered betyr at atomene er plassert på *sidene* av en enhetskube, dvs med ett atom i hvert hjørne pluss et på midten av hver side. Dette svarer til krystallstrukturen til Argon. Et lattice beskrives av et sett av basisvektorer  $\hat{u}_n, n = 1, 2, 3$  og hver celle er gitt ved en lineær sum med heltallsfaktorer for hver basisvektor. Posisjonene til hver basiscelle i en  $N_x \times N_y \times N_z$  lattice er derfor

$$\vec{R}_{i,j,k} = i\hat{u}_1 + j\hat{u}_2 + k\hat{u}_3 \quad (1)$$

for  $i = 1, 2, \dots, N_x$  og tilsvarende for  $j$  og  $k$ . Basisvektorene er kartesiske enhetsvektorer ganget med latticekonstanten  $b$ , dvs. lengden av en enhetscelle:

$$\hat{u}_1 = b\hat{i}, \quad \hat{u}_2 = b\hat{j}, \quad \hat{u}_3 = b\hat{k} \quad (2)$$

Posisjonene til atomene i hver celle er gitt relativt til posisjonen til basecellen. For FCC er disse relative posisjonene

$$\vec{r} = 0\hat{i} + 0\hat{j} + 0\hat{k}, \quad (3)$$

$$\vec{r} = \frac{b}{2}\hat{i} + \frac{b}{2}\hat{j} + 0\hat{k}, \quad (4)$$

$$\vec{r} = 0\hat{i} + \frac{b}{2}\hat{j} + \frac{b}{2}\hat{k}, \quad (5)$$

$$\vec{r} = \frac{b}{2}\hat{i} + 0\hat{j} + \frac{b}{2}\hat{k}, \quad (6)$$

For solid Argon,  $b = 5.620 \text{ \AA}$ . Det gjøres slik i programmet:

```
Atom *atom1 = new Atom(mass);
atom1->position.set(lc*i, lc*j, lc*k);
atom1->storeInitialPosition();
if (BoltzmannDist) { atom1->resetVelocityMaxwellian(temperature); }
else { atom1->resetVelocityUniform(maxMinVelocity); }
m_atoms.push_back(atom1);
atom1->setIndex(index);
index++;

Atom *atom2 = new Atom(mass);
atom2->position.set(lc*(i+0.5), lc*(j+0.5), lc*k);
atom2->storeInitialPosition();
if (BoltzmannDist) { atom2->resetVelocityMaxwellian(temperature); }
else { atom2->resetVelocityUniform(maxMinVelocity); }
m_atoms.push_back(atom2);
atom2->setIndex(index);
index++;
```

Man kan angi forskjellig type initialhastigheter. Fra statistisk fysikk vet vi at ved likevekt ved temperatur  $T$ , er hastighetene til atomene gitt av Boltzmann-distribusjonen, dvs. at  $x$ -,  $y$ - og  $z$ -komponentene til hastigheten er normaldistribuert med snitt null og standardavvik  $\sqrt{k_B T/m}$ , der  $m$  er massen til et atom og  $k_B$  er Boltzmann-konstanten.  $m = 39.948$  a.u. for Argon.  $k_B = 1$  for atomic units.

Man kan også starte med hastigheter som er uniformt distruberte random tall i intervallet  $[-v, v]$ . I følge central limit theorem skal hastighetsdistribusjonen til partiklene ende opp i Maxwell-Boltzmann-distribusjonen uavhengig av hva man starter med. Dette kan være en fin test av koden.

### 1.1.2 Integration

Vi bruker den symplektiske og numerisk stabile Velocity-Verlet-algoritmen for å løse Newtons likninger for hvert tidssteg. Denne utvikler posisjonene og hastighetene til alle atomene fremover i tid. Symplektisk betyr at vi unngår *energy drift*, dvs. at totalenergien øker eller minker litt over tid, selv om den egentlig skal være bevart for et lukket system / mikrokanonisk ensemble. Energy drift kommer av at tidssteget ikke er uendelig lite. Algoritmen er som følger:

1. Finn hastigheten for halve tidssteget fremover:

$$\mathbf{v}_i(t + \Delta t/2) = \mathbf{v}_i(t) + \frac{\mathbf{F}_i(t)}{2m} \Delta t \quad (7)$$

2. Finn nye posisjoner basert på denne hastigheten:

$$\mathbf{r}_i(t + \Delta t) = \mathbf{r}_i(t) + \mathbf{v}_i(t + \Delta t/2) \Delta t \quad (8)$$

3. Regn ut de nye kreftene på hvert atom basert på de nye posisjonene:

$$\mathbf{F}_i(t + \Delta t) = -\nabla_i U_i(\{\mathbf{r}\}(t + \Delta t)) \quad (9)$$

4. Regn ut de nye hastighetene:

$$\mathbf{v}_i(t + \Delta t) = \mathbf{v}_i(t + \Delta t/2) + \frac{\mathbf{F}_i(t + \Delta t)}{2m} \Delta t \quad (10)$$

Hver av disse likningene er variasjoner over Euler-metoden.

### 1.1.3 Potensial

Vi ser fra Velocity-Verlet at kreftene på alle atomene bestemmes av et potensial  $U$ . Vi bruker her Lennard-Jones-potensialet for å simulere parvis interaksjon:

$$U(r) = 4\epsilon \left[ \left( \frac{\sigma}{r} \right)^{12} - \left( \frac{\sigma}{r} \right)^6 \right] \quad (11)$$

Dette potensialet approksimerer interaksjon mellom par av nøytrale atomer.  $r$  er avstanden mellom partiklene,  $\epsilon$  er dybden av potensialbrønnen og  $\sigma$  er avstanden der potensialet er null. Optimale verdier av parametrene for argon:

$$\frac{\epsilon}{k_B} = 119.8K, \quad \sigma = 3.405 \quad (12)$$

$\sigma$  måles i Ångström. Det første leddet er frastøtende, som skyldes overlapping av elektronorbitaler. Det andre leddet er attraktivt for lengre avstander, skyldes van-der-Waals-krefter (Londonkraft). Potensialet ser slik ut:

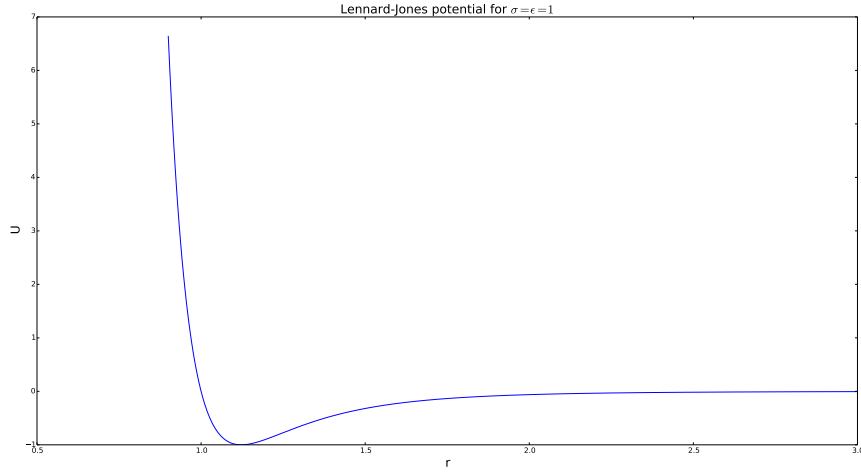


Figure 1: Lennard-Jones potential

Dette er et konservativt potensial (avhenger bare av posisjoner), slik at kraften på atom  $i$  fra atom  $j$  er

$$\mathbf{F}_i = -\nabla_i U_i = \frac{24}{r_{ij}^6} \left( \frac{2}{r_{ij}^6} - 1 \right) \frac{\mathbf{r}_i - \mathbf{r}_j}{r_{ij}^2} \quad (13)$$

og kraften på atom  $j$  fra atom  $i$  kan da regnes ut som (i følge Newtons tredje lov):

$$\mathbf{F}_i = -\mathbf{F}_j \quad (14)$$

Den totale kraften på atom  $i$  er summen av kreftene fra alle de andre partiklene:

$$\mathbf{F}_i^{tot} = \sum_{i < j} \mathbf{F}_j \quad (15)$$

der vi bare tar med atomene  $j > i$  for å forhindre at kraften på atom  $j$  fra atom  $i$  adderes to ganger.

#### 1.1.4 Periodic boundary conditions

Mange av atomene vil etter hvert bevege seg ut av systemet vårt. Et triks for å simulere et stort (uendelig) system er å bruke periodiske grensebetingelser. Dvs. at dersom en partikkel forlater systemet ved å bevege seg ut av en av sidene av kubens, vil den dukke opp på motsatt side med samme hastighet. Dette må gjøres komponentvis. Vårt system er  $[0, L] \times [0, L] \times [0, L]$  der  $L = bN_c$ ,  $N_c$  er antall unit cells i hver retning. PBC implementeres slik:

- For hver posisjonskomponent  $\mathbf{r}_i$ :
  - if  $\mathbf{r}_i < 0$ :  $\mathbf{r}_i = \mathbf{r}_i + L$
  - else if  $\mathbf{r}_i > L$ :  $\mathbf{r}_i = \mathbf{r}_i - L$

Dette må også tas hensyn til når man regner ut kreftene. Vi bruker *minimum image convention*, dvs. at avstanden vi velger den korteste avstanden mellom to atomer. Dersom to atomer er nær  $x$ -veggen på hver sin side, er den korteste avstanden ikke den som regnes ut, men den gjennom veggen. Man må dermed legge til eller trekke fra  $L$  for å finne den minste forskjellen. Matematisk:

$$\min_{\delta} (x_i - x_j + \delta L), \quad \delta \in \{-1, 0, 1\} \quad (16)$$

For å vite om avstanden man har regnet ut er for stor, tester man om den er større enn  $L/2$ . Dette begrenser interaksjonsrekkevidden til  $L/2$ , som er mer enn nok for vårt potensial, som har ganske lav rekkevidde (går som  $1/r^6$  og  $1/r^{12}$ ). Implementeres slik:

- For hver posisjonskomponent  $\mathbf{r}_i$ :
  - if  $x_{ij} > L/2$ :  $x_{ij} = x_{ij} - L$
  - else if  $x_{ij} < -L/2$ :  $x_{ij} = x_{ij} + L$

### 1.1.5 Efficiency improvements

Vi kan gjøre enkle ting som å unngå å gange med konstanter i løkker. I tillegg bruker vi celledister og nabolister. Kreftene tar mest tid å regne ut, antall krefter vi må regne ut er  $\frac{1}{2}N(N-1)$  for hvert tidssteg, med en tidsskalering  $\mathcal{O}(N^2)$ . L-J-interaksjonen har lav rekkevidde og kan neglisjeres for avstander over  $r_{cut} \approx 3\epsilon$ . Dette oppnås ved å dele inn systemet i celler med størrelse  $r_{cut}$ . Et atom vil kun interagere med atomene i de 26 nabocellene. Antall celler i hver dimensjon regnes ut slik:

$$n = L/r_{cut} \quad (17)$$

og vi finner ut hvilken celle  $(i, j, k)$  hvert atom er i slik:

$$i = (x/L) \cdot n \quad (18)$$

for  $x, y, z$ . I hver celle  $(i, j, k)$  lagres pekere til alle atomobjektene som hører til i denne cellen. Vi lager også en naboliste, som er 2-dimensjonal vektor. Element  $(i', j')$  i denne vektoren er nabo  $j'$  til atom  $i'$ . Naboene finnes ved for hver celle å plukke ut indeksene til alle nabocellene, her må det tas hensyn til PBC. Nabocellene til celle  $(i, j, k)$  er alle cellene med indekser

$$(i', j', k') \in (i + \delta, j + \delta, k + \delta) \quad \delta \in \{-1, 0, 1\} \quad (19)$$

som blir  $3^3 - 1 = 26$  naboceller (må trekke fra gjeldene celle). For hvert naboatom sjekkes det om avstanden er mindre enn  $r_{cut}$ . Dersom den er det, legges naboatomet til listen over naboatomer til det gjeldene atomet. Siden vi opererer med svært korte tidssteg, vil atomene bevege seg lite for hvert steg. Celledistene oppdateres derfor kun for hvert tiende steg.

## 1.2 2 Molecular dynamics in the microcanonical ensemble

*Discuss initialization and initialization effects. Temperature measurements and fluctuations. Comment on use of thermostats for initialization.*

Initialisering av posisjoner og hastigheter er diskutert ovenfor. Et FCC lattice er konstruert slik at det har minimum potensiell energi. Alle andre initielle konfigurasjoner vil ha større potensiell energi. Dvs. at når atomene begynner å bevege på seg, vil den potensielle energien øke, og den kinetiske energien minke, dette fordi totalenergien er bevart i et mikrokanonisk ensemble (system kan ikke utveksle energi, volum eller partikler med omgivelsene). Dette vil fortsette helt til vi når en bølgedal der den potensielle energien er på et maksimum, før det svinger opp igjen og til slutt stabiliserer seg, men med små fluktusjoner. Disse fluktusjonene vil gå mot null når størrelsen på systemet går mot uendelig.

Temperatur er i utgangspunktet ikke lett å måle, men hvis vi antar at det er likevekt mellom translasjonell og potensiell frihetsgrader, sier ekvipartisjonsprinsippet at hver kvadratisk frihetsgrad i Hamiltonian for systemet har en gj.sn. energi  $\frac{1}{2}k_B T$ . Gj.sn. total kinetisk energi i tre dimensjoner blir derfor

$$\langle E_k \rangle = \frac{3}{2} N k_B T \quad (20)$$

slik at temperaturen kan måles ved hvert tidssteg ved å regne ut kinetisk energi, temperaturen er da gitt ved

$$T = \frac{2 \langle E_k \rangle}{3 N k_b} \quad (21)$$

Den totale kinetiske energien regnes ut (som vanlig) slik:

$$E_k = \sum_{i=1}^N \frac{1}{2} m_i |\mathbf{v}_i|^2 \quad (22)$$

Siden temperaturen er direkte proporsjonal med den gj.sn. kinetiske energien, vil den først ha den initielle verdien vi setter, før den raskt minker, for så å stabilisere seg med små fluktusjoner:

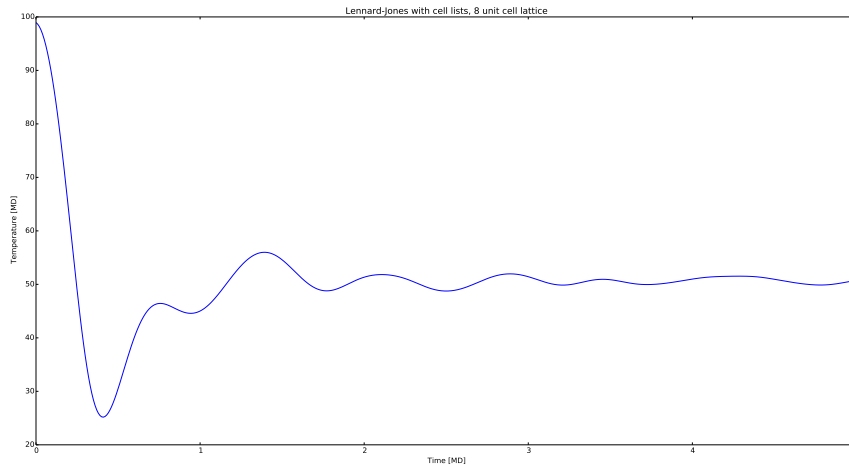


Figure 2: Temperature as function of time

Den faktiske temperaturen vil være gj.sn. temperatur etter systemet har kommet i likevekt. Den ergodiske hypotesen sier at et tidssnitt og ensemblesnitt av en variabel er lik for et system i likevekt studert over lengre tid. Vi kan derfor måle makroskopiske variabler ved å sample og snitte fra *ett* system over lengre tid. Dette vil være det samme som å snitte over et ensemble av systemer. Hvor lengre tid hvor mindre blir den statistiske feilen.

For å simulere det kanoniske ensemblet bruker vi termostater. Det kanoniske kan utveksle energi med et tenkt, uendelig varmebad med temperatur  $T$ . Det vil altså ha konstant temperatur, partikkelantall og volum, men ikke konstant energi. Termostatene sørger for at  $T$  holder seg konstant på den initielle verdien. Etter ekvilibrering kan termostaten skrus av, og makroskopiske variabler kan måles. Termostatene forklares nedenfor.

Translasjonell invarians vil si at lineær bevegelsesmengde er bevart. Vi vil derfor at initiell total lineær bev.mengde skal være null. Vi må derfor fjerne eventuell bev.mengde etter initialisering av posisjoner og hastigheter er gjort. Dette gjøres ved å først regne ut total bev.mengde,

$$p^{tot} = \sum_{i=1}^N m_i v_i \quad (23)$$

for deretter å trekke fra hastigheten som tilsvarer den gj.sn. bev.mengden fra hver partikkel:

$$\vec{v}_i = \vec{v} - p^{tot} / (m_i N) \quad (24)$$

### 1.3 3 Molecular dynamics in the microcanonical ensemble 2

*How to measure macroscopic quantities such as temperature and pressure from a molecular dynamics simulation. What challenges do you expect? What can it be used for?*

Hvordan man måler makroskopiske størrelser i en MD-simulering er forklart i seksjonen ovenfor.

Trykk kan måles på mange måter. Vi bruker et uttrykk som kommer fra viriale likningen for trykk. Gj.sn. trykk er

$$P = \rho k_B T + \frac{1}{3V} \sum_{i < j} \vec{F}_{ij} \cdot \vec{r}_{ij} \quad (25)$$

der  $V$  er volumet til system,  $\rho = N/V$  er partikkeltettheten. Dette uttrykket gjelder kun for det mikrokanoniske ensemblet. Trykket regnes ut i kraft-loopen som skalarproduktet av kraft og avstandsvektor for hvert partikkelpar. Trykket har invers form i forhold til temperaturen:

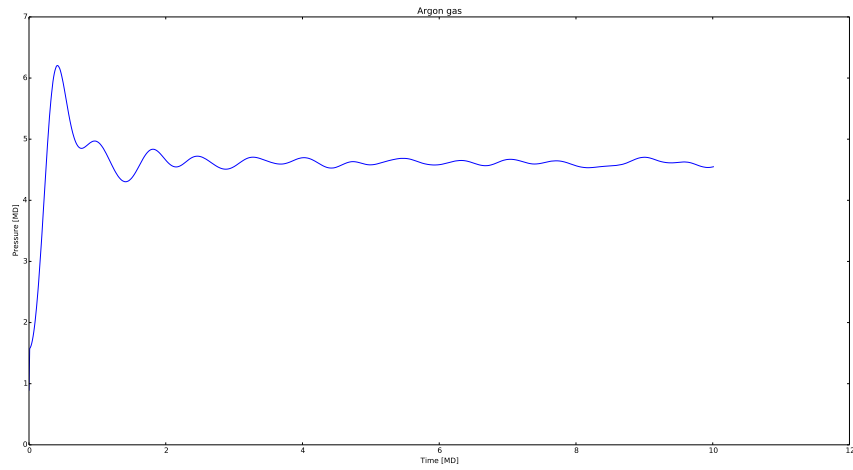


Figure 3: Trykk som funksjon av tid.  $N_c = 10, T = 100K$

Det er mer interessant å plote trykk som funksjon av temperatur:

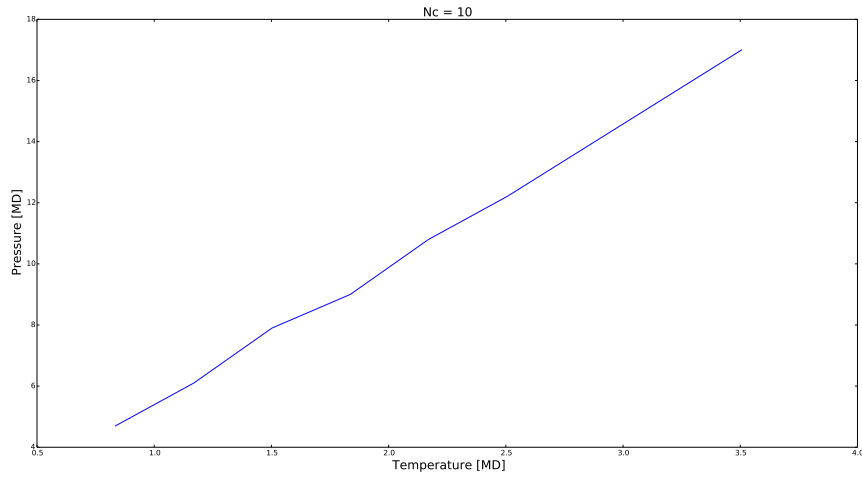


Figure 4: Trykk som funksjon av temperatur

Vi ser at trykket er lineær i  $T$ , slik som en ideell gass for fixed  $N$  og  $V$ :

$$PV = NkT \quad (26)$$

Vår argongass er ikke ideell, iom. at vi har med interaksjoner mellom atomene. Disse interaksjonene er imidlertid svake, og vi ser at argongassen er tilnærmet ideell. van-der-Waals-tilstandslikningen har imidlertid også trykke som er lineær i  $T$ :

$$P = \frac{Nkt}{V - b} - \frac{a}{V^2} \quad (27)$$

der  $a$  er den gj.sn. tiltrekning mellom partiklene og  $b$  er volumet fjernet fra det totale volumet for en partikkel.

Disse målingene kan brukes til å simulere ekte gasser, væsker og (faste stoffer).

## 1.4 4 Measuring the diffusion constant in a molecular dynamics simulation

For å karakterisere transporten i en væske måler vi selvdifusjonen til et atom, dvs. måle posisjonen som en funksjon av tid  $\vec{r}_i(t)$ . Diffusjonskonstanten regnes ut fra mean square forflytning av alle atomer:

$$\langle r^2(t) \rangle = \frac{1}{N} \sum_{i=1}^N (\vec{r}(t) - \vec{r}_{initial})^2 \quad (28)$$

I følge Einstein-relasjonen kan diffusjonen regnes ut fra stigningstallet til denne størrelsen:

$$\langle r^2(t) \rangle = 6Dt \quad \text{when} \quad t \rightarrow \infty \quad (29)$$

Vi forventer altså at  $\langle r^2(t) \rangle$  skal være lineær med tiden for væskefasen av Argon. For fast stoff-fasen vil mean square displacement oscillere (latticevibrasjoner). Vi regner ut mean square displacement basert på posisjonene i xyz-filen som lages ved en kjøring. Alle posisjonene til alle tider skrives til samme fil, vi looper gjennom denne filen og lagrer alle posisjonene i en 2-dimensjonal vektor slik at `position[t][i]` er posisjonen til atom  $i$  ved tidssteg  $t$  lagret som en liste  $(x, y, z)$ .

For hvert tidssteg looper vi gjennom alle atomene. Her må vi inkorporere PBC. Vi bruker den samme testen som i kraftloopen, men nå tester vi ikke avstanden mellom to atomer, men lengden på det forrige steget:

```
for t in xrange(1, noTimeSteps+1):
    # for each timestep: find displacement of all atoms and sum up

    cumulativeDisplacement = 0.0
    for atom in xrange(totalNumberOfAtoms):

        # current total displacement
        dr = positions[t][atom] - positions[0][atom]

        # previous displacement
        previousStep = positions[t-1][atom] - positions[t-1][atom]

        # check whether atom has gone through box wall
        for dim in xrange(3):
            # test if atom has moved out of left wall
            if previousStep[dim] > systemSizeHalf:
                goneThroughWalls[atom][dim] -= 1
            # test if atom has moved out of right wall
            elif previousStep[dim] < -systemSizeHalf:
                goneThroughWalls[atom][dim] += 1

        dr += goneThroughWalls[atom]*systemSize
        cumulativeDisplacement += np.inner(dr, dr)

    displacement[t-1] = cumulativeDisplacement
```

I tillegg har vi en 3-vektor `goneThroughWalls` for hvert atom som holder styr på hvor mange ganger atomet har gått gjennom den høyre/venstre veggen i hver dimensjon. Dvs. at vi forestiller oss at det er mange identiske systemer side-ved-side. Dersom `goneThroughWalls[0, 2 0]` f.eks, har det gjeldende atomet gått gjennom den positive y-veggen 2 ganger, og har altså derfor beveget seg  $2 \cdot \text{system-størrelsen} + \text{sin egen y-koordinat}$ .

For væskefase av Argon har vi at  $b = 5.72$ . For  $T = 1.5$  ser plottet slik ut etter termalisering:

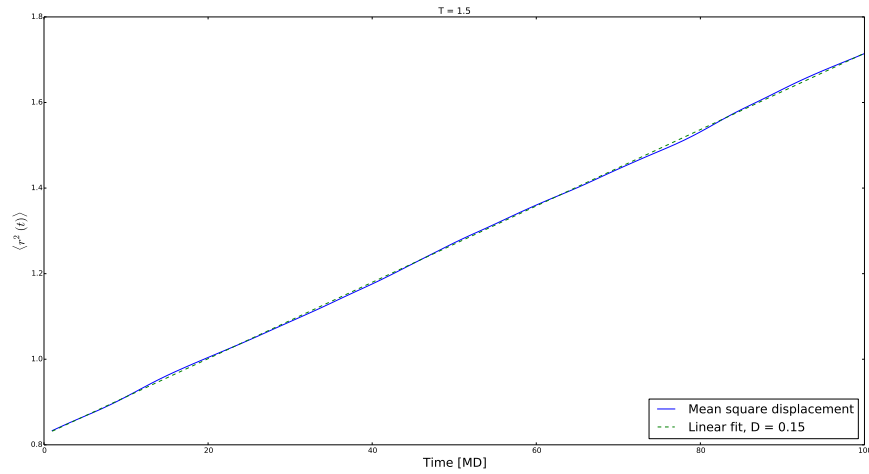


Figure 5: Mean square displacement som funksjon av tid for  $T = 1.5$

Vi ser at kurven er lineær, som forventet. Gjør en linear fit og deler den første koeffisienten på 6 for å finne diffusjonskonstanten  $D$ . For fast stoff vil det ikke være noe diffusjon, alle atomene står kun og vibrerer rundt sin initielle posisjon. Her er et plot av diffusjonskonstant som funksjon av temperatur:

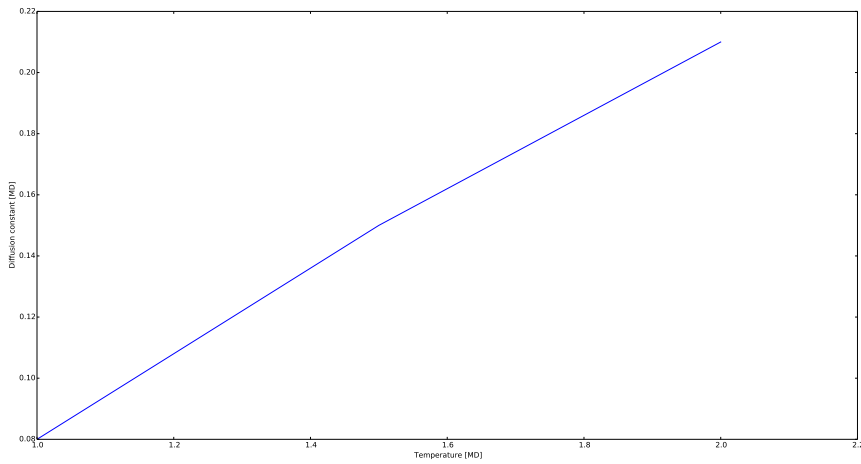


Figure 6: Mean square displacement som funksjon av tid for  $T = 1.5$

Vi ser at diffusjonskonstanten øker linært med temperaturen,  $D \propto T$ .

## 1.5 5 Measuring the radial distribution function in molecular dynamics simulations

Den radielle distribusjonsfunksjonen  $g(r)$  karakteriserer den mikroskopiske strukturen til et fluid. Den er definert som den radielle sannsynligheten for å finne et annet atom i avstand  $r$  fra et tilfeldig atom, mao. atomtettheten i et sfærisk skall av radius  $r$  rundt et atom. Normaliseres ved å dele på gj.sn. partikkeltetthet slik at

$$\lim_{r \rightarrow \infty} g(r) = 1 \quad (30)$$

$g(r)$  måles på denne måten:

- Velger et tilfeldig atom
- Deler vi opp  $r \in (0, L/2]$  i bins ved å dele  $L/2$  med antall bins
- For hvert tidssteg:



- Looper over alle atomene og finner avstanden til det utvalgte atomet
- For hvert atom plasserer vi avstanden i riktig bin
- Deler hver bin på tilsvarende skallvolum for å finne tettheten (normaliserer)
- Skriver antall atomer i hver bin til fil for hvert tidssteg

Etter dette er gjort leser vi inn filen i python og midler over tid. Slik er resultatet for 30 bins:

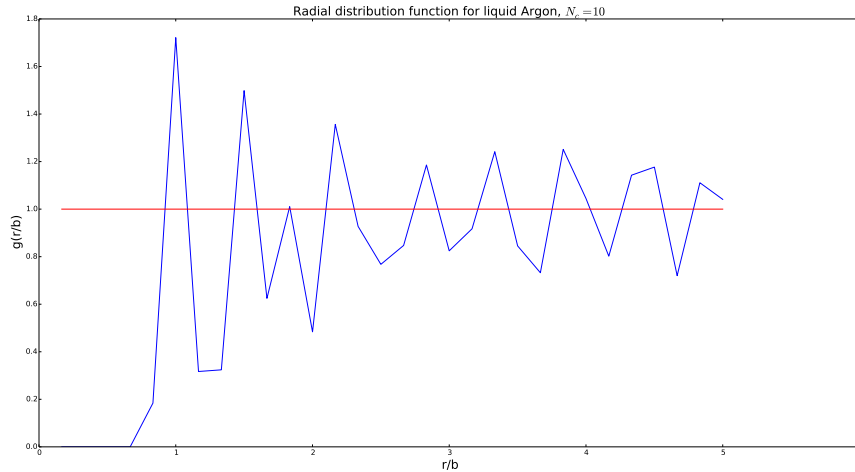


Figure 7: Radiell distribusjonsfunksjon

Vi ser at  $g(r/b)$  der  $b$  er latticekonstanten er en periodisk funksjon. Vi har en topper med intervall ca  $b/\sqrt{2}$ , som er avstanden mellom to atomer i samme celle i en FCC lattice. Mellom disse har vi bunner. Vi ser at for  $r < b/\sqrt{2}$  er  $g(r)$  null. For større avstander blir toppene og bunnene mindre fordi skallvolumene blir større.  $g(r)$  går mot 1 når  $r \rightarrow \infty$ , som nevnt ovenfor. Dette er en slags referanseavstand. For en perfekt krystall ville disse bunnene og toppene være helt skarpe. For en væske ser den slik ut:

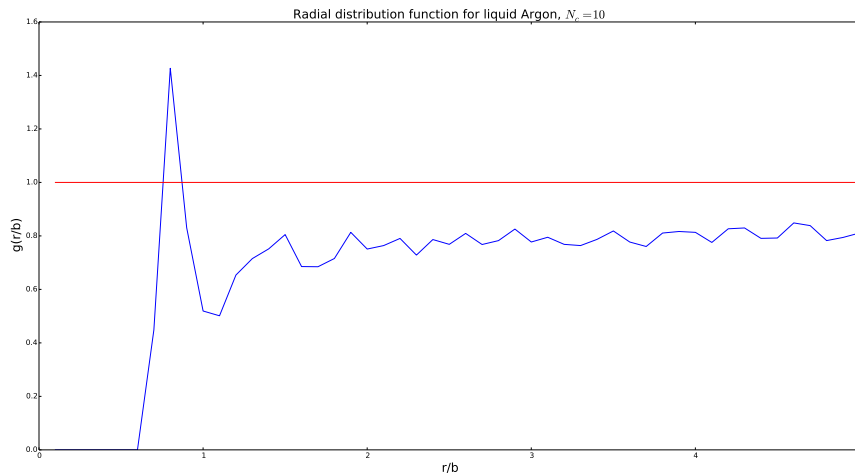


Figure 8: Radiell distribusjonsfunksjon

Vi ser at strukturen er mye mindre regulær, som forventet.

## 1.6 6 Thermostats in molecular dynamics simulations

*Discuss the microcanonical vs the canonical ensemble in molecular dynamics simulations: How can we obtain results from a canonical ensemble? Introduce two thermostats, and describe their behaviour qualitatively. How can you use*

*such a thermostat for rapid initialization of a microcanonical ensemble?*

For å simulere et kanonisk ensemble / NVT-ensemble, må vi simulere interaksjoner med et eksternt varmebad. Dette gjør at temperaturen, men ikke energien, holder seg konstant. Dette gjøres ved å bruke termostater, som må oppfylle følgende kriterier:

- Holde systemtemperaturen ca. ved varmebadtemperaturen
- Sample faserommet som tilsvarer det kanoniske ensemblet (dvs. sørge for at posisjonene og hastighetene til atomene utvikler seg som et kanonisk ensemble)
- Evnen til å tune variabler
- Dynamikken preserves

Vi bruker to forskjellige termostater, Berendsen og Andersen.

### 1.6.1 Berendsen termostat

Berendsen fungerer slik at den reskalerer hastighetene til alle atomene med en faktor  $\gamma$ :

$$\gamma = \sqrt{1 + \frac{\Delta t}{\tau} \left( \frac{T_{bath}}{T} - 1 \right)} \quad (31)$$

for hvert tidssteg.  $\tau$  er relaxation-tid, dvs. tiden det tar før systemet går tilbake til likevekt.  $\tau = \Delta t$  vil gjøre at temperaturen holder seg nøyaktig konstant, men bør settes til 10-20 ganger denne verdien. Berendsen motvirker fluktuasjoner i den kinetiske energien, og klarer derfor ikke å produsere baner i faserommet som korresponderer til det kanoniske ensemblet. Den er god på å holde temperaturen konstant, tilfredsstiller Fourier's lov om varmeoverføring.

### 1.6.2 Andersen termostat

Andersen simulerer kollisjoner mellom atomer i systemet og i varmebadet. Energi blir dermed utvekslet mellom atomene, det er dette som foregår i virkelige systemer, altså varmeledning. Atomer som kolliderer får en ny normalt distribuert hastighet med standardavvik  $\sqrt{k_B T_{bath}/m}$ . Dette gjøres slik for hvert tidssteg:

- Loop gjennom alle par av atomer og sjekk om de har kollidert. Vi har kollisjon dersom avstanden er mindre enn to ganger radiusen til et Argon-atom.
- For hvert kolliderende atom genererer vi et uniformt distribuert tilfeldig tall  $p$  mellom 0 og 1:
  - If  $p < \Delta t/\tau$ : Atomet får en ny hastighet

Andersen er god på å ekvilibre system, men forstyrrer dynamikken i f.eks. lattice-vibrasjoner. Kan dermed ikke brukes for å måle tidsavhengige størrelser som diffusjon.

Vi sammenlikner temperaturen som funksjon av tid for de to termostatene:

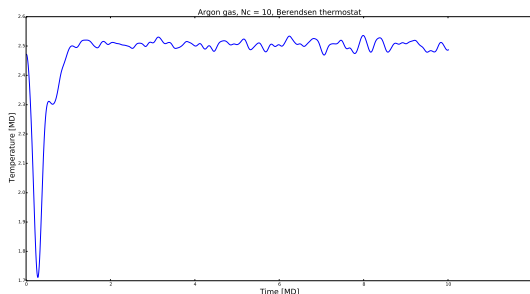


Figure 9: Temperatur som funksjon av tid, Berendsen termostat

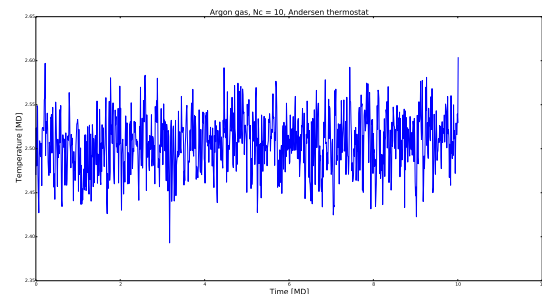


Figure 10: Temperatur som funksjon av tid, Andersen termostat

Vi ser at Andersen ekvilibrerer raskere, Berendsen derimot har en stor dupp i starten. Imidlertid er temperaturfluktuasjonene mindre for Berendsen (men vet ikke hvor store fluktuasjonene bør være). Energiene ser slik ut:

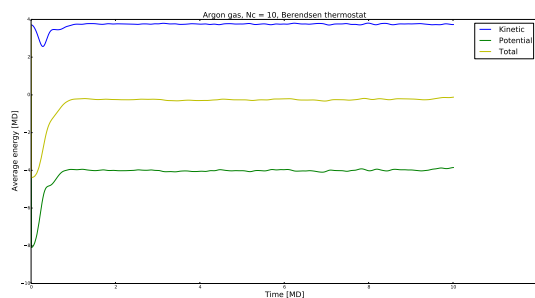


Figure 11: Energier som funksjon av tid, Berendsen termostat

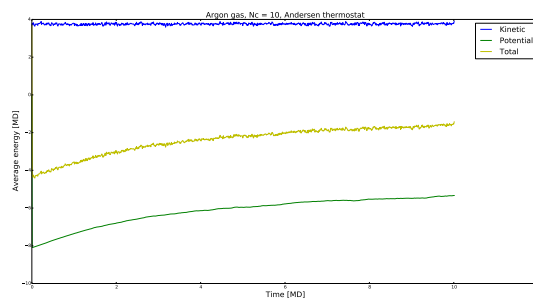


Figure 12: Energier som funksjon av tid, Andersen termostat

Berendsen-termostaten gjør at partiklene beveger seg lenger translasjonelt. Andersen derimot, gjør at systemet oppfører seg mer som et fast stoff, med raske, små latticevibrasjoner.

## 2 Advanced molecular dynamics

### 2.1 7 Generating a nanoporous material

*Discuss how we prepare a nanoporous matrix with a given porosity. How do we characterize the structure of such a material and the dynamics of a fluid in such a material?*

Et nanoporøst materiale består av to deler: porer og solid materiale. Vi lager et nanoporøst materiale basert på et allerede termalisert Lennard-Jones-fluid ved å kutte ut deler av systemet. Dette er porene som vi fyller med fluidet. Inne i porene beveger atomene seg, alle atomer utenfor porene beveger seg ikke, men de virker på de bevegende partiklene med krefter. Vi genererer et nanoporøst materiale slik:

- Lag en Lennard-Jones-væske med temperatur  $T = 0.851$ .
- Termaliser væsken
- Skru av termalisering, og la programmet kjøre en stund
- Lag porer basert på denne termaliserte væsken ved å markere visse atomer som ikke-bevegende
- Termaliser evt på nytt
- Gjør målinger

Porene kan lages på mange forskjellige måter. Man kan f.eks. kutte ut en sylinder som går tvers gjennom system, som væsken kan bevege seg gjennom. For å lage en sylinder med  $r = 2$  nm i  $x$ -retning i midten av system, looper vi gjennom alle atomene og regner ut  $yz$ -avstanden fra  $\text{systemSizeHalf}$ . Dersom denne avstanden er større enn sylinderradiusen, merker vi atomet som ikke-bevegende. Disse får da et annet navn enn Argon-atomene, slik at de får forskjellig farge når vi visualiserer med VMD. Implementeres slik:

```
for (Atom *atom : m_system->atoms()) {
    double yFromCenter = atom->position.y() - m_system->systemSizeHalf().y();
    double zFromCenter = atom->position.z() - m_system->systemSizeHalf().z();
    double distanceFromCenter = yFromCenter*yFromCenter + zFromCenter*zFromCenter;

    if (distanceFromCenter > m_poreRadius) {
        atom->setMovingAtom(false);
        atom->setName("NM");
    }
}
```

Hovedmetoden vi skal bruke er å lage porer ved å sette opp flere tilfeldige posisjonerte, muligens overlappende kuler med tilfeldige radiuser. Vi gjør slik at matrisen er i kulene, dvs. de ikke-bevegende atomene. Væsken er derfor alle atomer utenfor kulene. Vi lager tjue kuler tilfeldig posisjonert med radiuser uniformt distribuert mellom  $R_0 = 2$  nm og  $R_1 = 3$  nm. Dette gjøres slik:

```

for (int i=0; i < m_numberOfPores; i++) {

    // center of random sphere
    vec3 sphereCenter;
    sphereCenter[0] = Random::nextDouble()*m_system->systemSize().x();
    sphereCenter[1] = Random::nextDouble()*m_system->systemSize().y();
    sphereCenter[2] = Random::nextDouble()*m_system->systemSize().z();

    // random radius 2nm-3nm
    double sphereRadius = m_radius0 + Random::nextDouble()*(m_radius1 - m_radius0);
    std::cout << sphereRadius << std::endl;

    // freeze all atoms inside sphere
    for (Atom *atom : m_system->atoms()) {
        vec3 dr = atom->position - sphereCenter;
        double distanceFromCenter = dr.length();

        if (distanceFromCenter < sphereRadius) {
            std::cout << "yes" << std::endl;
            atom->setMovingAtom(false);
            atom->setName("NM");
        }
    }
}

```

Altså løper vi gjennom alle atomene for hver random pore vi lager og sjekker om de er inni denne eller ikke. I så fall merkes de som ikke-bevegende.

### 2.1.1 Porosity

Porositet er definert som andel volum av systemet som er porer:

$$\Phi = \frac{V_{pores}}{V} \quad (32)$$

Porositet kan måles ved å dele antall bevegende partikler på totalt antall partikler fordi systemet er relativt homogent. Å sammenlikne antall partikler i porene med totalt antall partikler blir derfor ekvivalent fordi vi ikke har noen store tetthetsvariasjoner.

$$\Phi = \frac{N_{moving}}{N} \quad (33)$$

Det er vanskelig å avgjøre hva porøsiteten vil bli når vi bruker kulene, dette fordi de overlapper i varierende grad. Med sylindren er det derimot enkelt siden vi vet radiusen og volumet til hele system. Porøsiteten med sylindren blir

$$\Phi = \frac{\pi r^2 L}{L^3} = \frac{\pi r^2}{L^2} \quad (34)$$

Dersom kulene ikke hadde vært overlappende ville porøsiteten blitt

$$\Phi = \frac{4}{3} \pi r^3 / L^3 \quad (35)$$

som ville gitt  $\Phi \approx 0.9$  for  $b = 5.72$  og  $N_c = 20$ . Altså gjør det faktum at de overlapper at porøsiteten ca. halveres, den er nemlig ca. 0.5 når kulene overlapper for de samme parametrene.

### 2.1.2 Fluidodynamikk

Væskestrømningen i et nanoporøst materiale kan karakteriseres ved hastighetsprofilen,  $u(z)$ , altså hastighet som funksjon av avstand fra sentrum av en (i dette tilfellet) boks. Dersom vi antar at væsken strømmer i  $x$ -retning pga. en trykkgradient, dvs. en trykkforskjell fra den ene siden av boksen i forhold til den andre, blir hastigheten en funksjon av  $z$ . Trykket varierer kun i  $x$ -retning. Vi forventer at væsken strømmer raskest i midten av flaten og går mot null ved kantene. Vi antar to ting om væskestrømmen:

1. Non-slip grensebetingelser: Hastigheten til væsken er null ved kantene av porene

## 2. Newtonsk væske:

$$\sigma_{zx} = \mu \frac{du_z}{dz} \quad (36)$$

der  $\sigma$  er *drag*, dvs. en kraft som virker i motsatt retning av et objekt som beveger seg i en væske. Denne kraften er proporsjonal med viskositeten  $\mu$ , dvs. en væskes evne til å motstå deformasjon, eller tykkelsen til væsken og den deriverte av væskens hastighet i  $z$ -retning, altså når væsken strømmer i  $x$ -retning. Dragen har både en parallell komponent  $x$  og en normal komponent  $z$ .

Drag er også mellom forskjellige deler av væsken ved laminær strømming, f.eks. vil en partikkel mer mot midten av flaten strømme fortere, men bli bremsset opp av partikler som strømmer parallelt med denne lenger ut mot sidene. Ut fra dette kan vi utlede hastighetsprofilen:

$$u(z) = \frac{\Delta p}{L} \frac{1}{2\mu} (a^2 - z^2) \quad (37)$$

der  $L$  er lengden til systemet i  $x$ -retning, og  $a$  er halve lengden av flaten i  $z$ -retning. Dette er altså en parabel som er null for  $z = \pm a$  og maks for  $z = 0$ . Den ser slik ut:

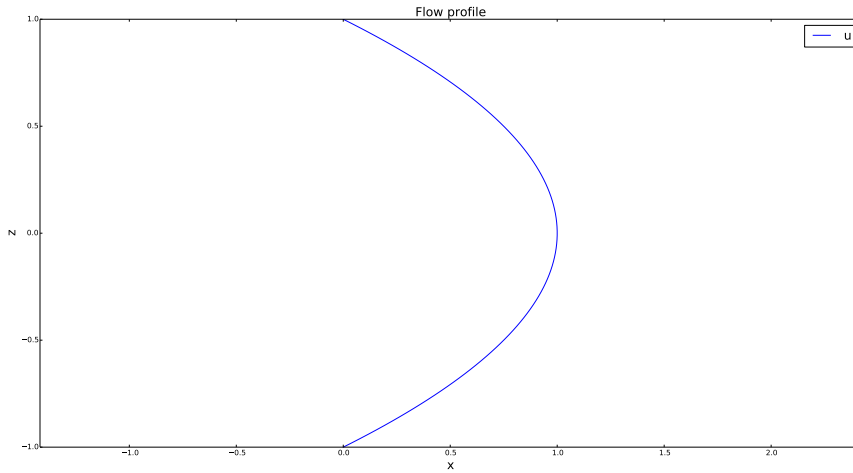


Figure 13: Strømningsprofil for strømming i  $x$ -retning

Fluks  $Q$ , dvs. volum som strømmer gjennom et tverrsnittsareal per tidssteg, er

$$Q = \frac{2a^3}{3\mu} \frac{\Delta p}{L} \quad (38)$$

For et cylindrisk rør er tilsvarende resultater

$$u(r) = \frac{\Delta p}{L} \frac{1}{4\mu} (a^2 - r^2) \quad (39)$$

og

$$Q = \frac{\pi a^4}{8\mu} \frac{\Delta p}{L} \quad (40)$$

Generelt har vi Darcys lov for strømming i et porøst medium:

$$v_s = \frac{Q}{A} = \frac{k}{\mu} \frac{\Delta p}{L} \quad (41)$$

der  $K = k/\mu$  tilsvarende konduktiviteten til mediet, som består av to størrese.  $k$  er permeabiliteten, til systemet, dvs. systemets evne til strømming gjennom seg.  $v_s$  kalles overfladisk væskestrømhastighet, og er gitt som volumfluksen  $Q$  delt på tverrsnittarealet  $A$  væsken strømmer gjennom. Det er ingen direkte sammenheng mellom porøsitet  $\Phi$  og permeabilitet  $k$ . Man kan ha høy  $\Phi$ , men likevel lav permeabilitet  $k$  dersom det ikke er en pore som går gjennom hele systemet f.eks. Permeabiliteten sier noe om selve det porøse mediet, mens viskositeten  $\mu$  sier noe om væsken.

## 2.2 8 Diffusion in a nanoporous material

*How can you measure the diffusion constant for a low-density fluid in a nanoporous system? Discuss what results you expect. Compare with diffusion in a bulk liquid and in a larger-scale porous medium*

Vi kan lage et fluid med halve tettheten ved å loope gjennom alle atomene som beveger seg, og fjerne annethvert atom:

```
// remove half of the fluid atoms
bool everySecondAtom = true;
for (int i=0; i < m_system->atoms().size(); i++) {
    if (m_system->atoms()[i]->movingAtom()) {
        if (everySecondAtom) {
            m_system->removeAtom(i);
            i--;
            everySecondAtom = false;
        }
        else {
            everySecondAtom = true;
        }
    }
}
```

Vi kan deretter måle diffusjonskonstanten på nøyaktig samme måte som før. Nå derimot, så preparerer jeg et LJ-fluid med  $N_c = 20$  og  $T = 1.5$  som jeg termaliserer med Berendsen-termostaten i 1000 tidssteg. Den siste state-filen leser jeg så inn fra fil, dette er min nye initial state. Når filen er lest inn lager jeg kuleporene, og fjerner halvparten av de bevegende atomene. Deretter termaliserer jeg i 501 tidssteg, før jeg kjører uten termostat i 1000 tidssteg til. Her er resultatet:

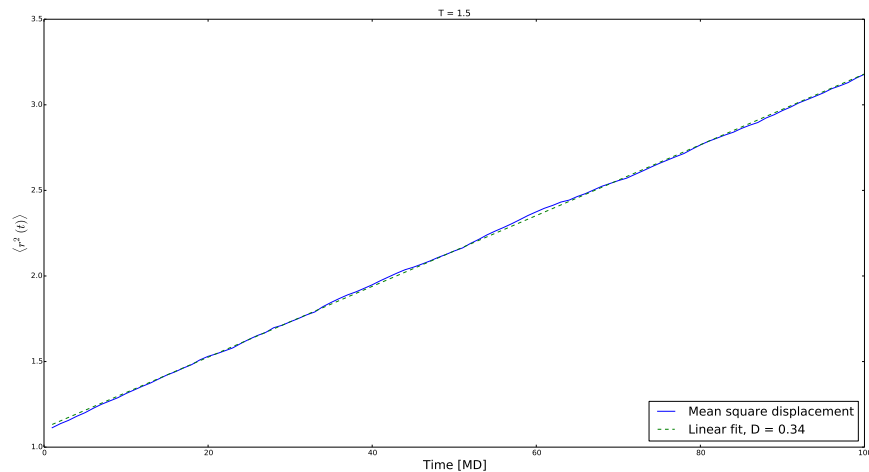


Figure 14: Diffusjon for kulenanoporøst system for  $T = 1.5$

Vi ser at  $D$  er større enn det ikke-porøse system, noe som er naturlig siden vi har lavere tetthet, som fører til at atomene har mer plass til å bevege seg, de blir mindre påvirket av krefter fra andre atomer. Også her er  $\langle r^2(t) \rangle$  lineær i tid, og vi kan finne  $D$  på samme måte. Vi må her huske på å kun se på diffusjonen til partiklene som beveger seg.

DIFFUSJON I BULK LIQUID OG STØRRE NANOPORØST SYSTEM???

## 2.3 9 Flow in a nanoporous material

*Discuss how to induce flow in a nanoporous material. How can you check your model, calculate the fluid viscosity and measure the permeability? What challenges do you expect?*

For å indusere strømning trenger vi en trykkforskjell over materialet. Dette oppnår vi ved å introdusere en ekstern kraft  $\vec{F} = F_x \hat{i}$  som virker på hvert atom. Dette tilsvarer gravitasjon, bare mye sterkere. Denne kraften legges til på hvert atom i tillegg til de ordinære kreftene i kraft-loopen. Volumfluksen er gitt ved Darcys lov (41), som også kan

skrives

$$U = \frac{k}{\mu}(\nabla P - \rho g) \quad (42)$$

der  $\rho$  er massetettheten til fluidet og  $g$  er gravitasjonell akselerasjon. Denne likningen gjelder for isotropisk porøst medium. Målingene vi gjør må derfor gjøres når systemet har nådd en stationary state. Vi vet at

$$\rho g = \frac{M}{V} \frac{F_x}{m} = \frac{Nm}{V} \frac{F_x}{m} = \frac{N}{V} F_x = n F_x \quad (43)$$

der  $M$  er atomenes totale masse og  $n$  er antalltettheten av atomer som kraften  $F_x$  virker på. Vi har allerede sett at denne loven for en sylinder med radius  $a$  er

$$u(r) = \frac{\Delta p}{L} \frac{1}{4\mu} (a^2 - r^2) \quad (44)$$

der  $r$  er avstanden fra sylinderens sentrum. Trykkforskjellen  $\Delta p$  kan tilnærmes som hydrostatisk trykk, dersom vi antar at at væsken er inkompressibel:

$$\Delta p = \rho g h = n F L \quad (45)$$

altså har vi at

$$u(r) = \frac{n F}{4\mu} (a^2 - r^2) \quad (46)$$

Hvis vi nå måler  $u(r)$  kan vi regne ut viskositeten  $\mu$ . Darcys lov for porøst medium (41) er altså

$$v_s = \frac{Q}{A} = \frac{k}{\mu} \frac{\Delta p}{L} = \frac{k}{\mu} \frac{n F L}{L} = \frac{k}{\mu} n F \quad (47)$$

slik at  $k$  kan beregnes ved følgende likning

$$k = \frac{\mu v_s}{n F} \quad (48)$$

HVORDAN MÅLE  $v_s$  EVT  $Q$ ???  $v_s$  ER JO STRØMNINGSHASTIGHET, SOM BØR VÆRE CA DEN SAMME FOR ALLE ATOMENE I X-RETNING? KAN JEG RETT OG SLETT BARE MÅLE DET SLIK?  
SER UT SOM GJ.SNITTLIG FART I X-RETNING GÅR MOT STATIONARY RUNDT 2001 TIME STEPS. MÅ TESTE DET NÆRMERE. DA KAN JEG I SÅ FALL BARE LESE FRA DEN SISTE STATE-FILEN FOR Å BEREKNE HASTIGHETSPROFILEN. HVIS IKKE MÅ JEG MIDLE OVER EN VISS TID, MEN BLIR JO IKKE HELT RIKTIG DA SIDEN SYSTEMET IKKE ER I EN STATIONARY STATE.  
ER DET VIRKELIG SLIK JEG MÅLER PERMEABILITET???? (SOM OVENFOR)

## 3 Percolation

### 3.1 10 15 Algorithms for percolation systems

*How do we generate a percolation system for simulations? How to analyze and visualize the systems? How to find spanning clusters and measure the percolation probability?*

*Discuss the behaviour of  $\Pi(p, L)$  and  $P(p, L)$  in a system with a finite system size  $L$ . How do you measure these quantities?*

Vi studerer random, porøse medier, dvs. at vi ikke har korrelasjoner i randomness til materialet. Vi lager et porøst medium ved å dele materialet inn i kuber (sites) av størrelse  $d$ . Hver site kan være enten fylt eller ikke fylt med materiale. Dersom ikke fylt: pore (tomrom). Hver site har en sannsynlighet  $p$  for å være fylt. Vi genererer et porøst materiale slik:

```
p = 0.25;
L = 10;
z = rand(L,L);
m = z < p;
imagesc(m);
```

Dette vil generere en  $10 \times 10$ -matrise  $m$  der hvert element i matrisen er enten 1 eller 0, dvs. fylt og ikke-fylt respektivt. Visualiseres med funksjonen *imagesc*, som fargekoder hver site etter verdier.

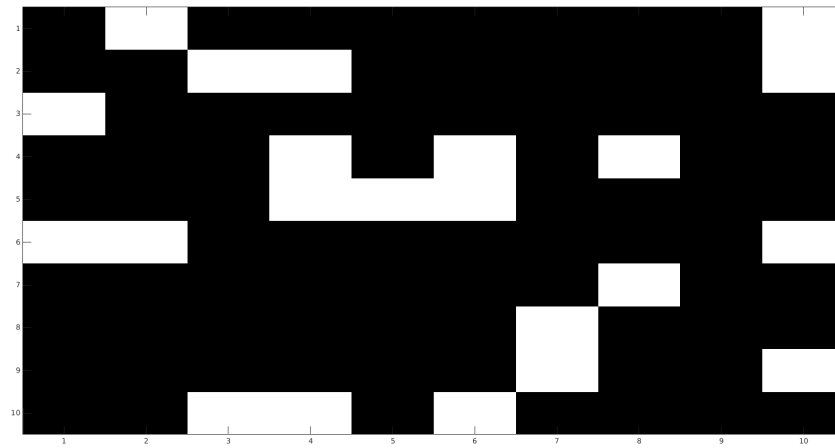


Figure 15: Porøst medium for  $L = 10$

Perkolasjon er studiet av konduktivitet i porøse medier. Det vi vil finne ut av er om det finnes en sammenhengende sti fra den ene siden av materialet til den andre? Dette avhenger av  $p$ .  $p_c$ , perkolasjonsterskelen, er den verdien av  $p$  som gjør at vi først får en sti som spenner over hele materialet.  $p_c$  vil ha forskjellige verdier for forskjellige realiseringer av matrisen over, derfor må vi se på  $p_c$  enten som et statistisk gj.snitt eller se på den termodynamiske grensen, dvs. for et uendelig stort system. Det sistnevnte er det vi gjør.  $p_c$  avhenger av rule-of-connectivity, dvs. om vi definerer connectivity som nearest-nabo eller next-nearest-nabo, dvs.  $Z = 4$  og  $Z = 8$  respektivt, og av formen på sitesene. Man kan derimot utlede mange ting som ikke avhenger av dette, men som er universelle. Dersom vi antar at de okkuperte sites er hull, vil porøsiteten bli  $\Phi = p$ .

For å finne clusters, dvs. sites som er nearest-neighbours, gjør vi slik:

```
[lw,num] = bwlabel(m,4);
```

Funksjonen `bwlabel` returnerer matrisen `lw` som for hver site  $i$  angir med en indeks hvilken cluster denne site tilhører. Clusterne gis indekser i stigende rekkefølge. Vi visualiserer ved å gi hver cluster hver sin farge:

```
img = label2rgb(lw, 'jet', 'k', 'shuffle');
image(img);
```

som ser slik ut

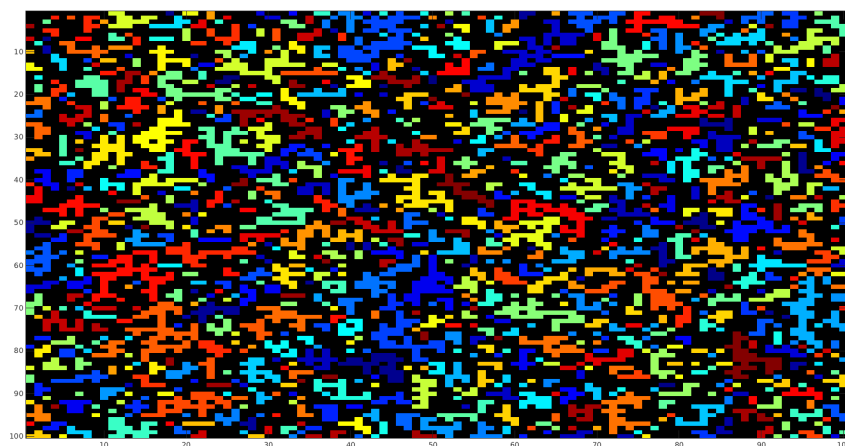


Figure 16: Clusters for  $L = 100$  og  $p = 0.4$



### 3.1.1 Percolation probability

Perkolasjonssannsynligheten  $\Pi(p, L)$  er definert som sannsynligheten for at det er en sammenhengende sti fra den ene siden til den andre som funksjon av  $p$  i et system av størrelse  $L$ . Vi kan måle  $\Pi(p, L)$  ved å lage  $N$  random matriser for hver verdi av  $p$ , og telle hvor mange ganger vi har en spanning cluster for hver  $p$ . Til slutt deler vi på antall samples  $N$ :

```
p = (0.4:0.01:1.0);
nx = length(p);
Ni = zeros(nx,1);
N = 10;
L = 100
for i = 1:N
    % generate new realization for each Ni
    z = rand(L,L);
    for ip = 1:nx
        m = z < p(ip);
        % finds clusters
        [lw,num] = bwlabel(m,4);
        % find spanning clusters
        top = lw(1,:);
        bottom = lw(L(j),:);
        left = lw(:,1);
        right = lw(:,L(j));
        % check whether the same cluster is at opposite ends of grid
        % intersect finds indicies that are the same in the two arrays,
        % without repetition
        tb = intersect(top,bottom);
        lf = intersect(left,right);
        % don't want to count the same cluster twice
        % union combines the data in tb and lf with no repetitions
        sc = union(tb,lf);
        % remove the unoccupied cluster
        sc = sc(sc~=0);
        if ~isempty(sc);
            Ni(ip) = Ni(ip) + 1
        end
    end
end
Pi = Ni/N;
plot(p,Pi);
```

## 3.2 11 15 Percolation on small lattices

*Discuss the percolation problem on a  $2 \times 2$  lattice. Sketch  $P(p, L)$  and  $\Pi(p, L)$  for small  $L$ . Relate to your simulations. How to find spanning clusters and measure the percolation probability?*

### 3.2.1 Density of spanning cluster

Tettheten  $P(p, L)$  til en spanning cluster er definert som sannsynligheten for at en random site tilhører en spanning cluster:

$$P(p, L) = \frac{M_s}{L^2} \quad (49)$$

der  $M_s$  er massen til clusteren, dvs. hvor mange sites den inneholder. Denne måles ved samme metode som for  $\Pi(p, L)$ , bare at nå trenger vi en måte å finne massen til spanning cluster på. Dette gjøres slik:

```
s = regionprops(lw, 'Area')
area = cat(1,s.Area)
```

Hvis vi definerer massen til spanning cluster som massen til alle clusterne som spanner (dersom det er flere enn én), vil programmet se ut som det ovenfor, med en liten modifikasjon, slik at vi slipper å bruke regionprops-funksjonen.

```

p = (0.4:0.01:1.0);
nx = length(p);
Mi = zeros(nx,1);
N = 10;
Lx = 500;
Ly = 20;
for i = 1:N
    % generate new realization for each Ni
    z = rand(Lx,Ly);
    for ip = 1:nx
        m = z < p(ip);
        % finds clusters
        [lw,num] = bwlabel(m,4);
        % find spanning clusters
        top = lw(1,:);
        bottom = lw(L(j),:);
        left = lw(:,1);
        right = lw(:,L(j));
        tb = intersect(top,bottom);
        lf = intersect(left,right);
        sc = union(tb,lf);
        if ~isempty(sc);
            for j = 1:length(sc)
                Mi(j) = Mi(j) + length(find(lw == sc(k)));
            end
        end
    end
end
end
P = Mi/N;
plot(p,Pi);

```

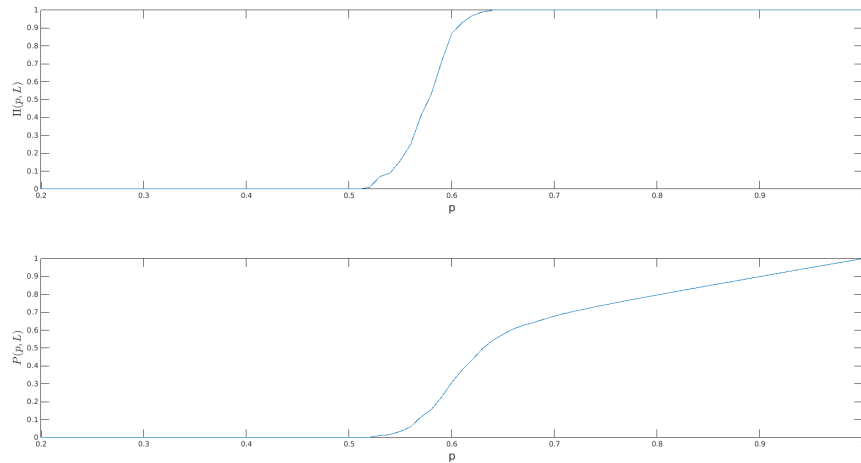


Figure 17: Percolation probability and density of spanning cluster for  $L = 50$

Vi ser at  $\Pi$  har rask økning noe før  $p_c = 0.59275$  opp til 1.  $\Pi$  går mot en stepfunksjon når  $L$  går mot uendelig.  $P$  har samme oppførsel før  $p_c$ , men etter øker den lineært med  $p$ , dette fordi når  $p$  er nære 1 vil nesten alle okkuperte sites være del av spanning cluster. Når vi øker  $p$  vil det komme flere okkuperte sites, som også vil være del av spanning cluster, derfor lineær økning i  $p$ .

### 3.2.2 Percolation on 2x2 lattice

Kurvene ovenfor vil bli mer og mer lineære for mindre  $L$ . For  $L = 1$  har vi  $\Pi(p, 1) = p$  og  $P(p, 1) = p$ , dersom den ene siten er okkupert, har vi perkolasjon, hvis ikke, har vi ikke perkolasjon. Vi kan også finne eksakte resultater for

$L = 2$ . Da må vi liste opp alle mulige konfigurasjoner, det er totalt  $2^4 = 16$  muligheter (generelt:  $2^{L^2}$ ), og finne sannsynligheten til hver konfigurasjon. I tillegg bruker vi fra sannsynlighetsteori at

$$P(A) = \sum_B P(A|B)P(B) \quad (50)$$

som vil si at sannsynligheten for  $A$  er gitt som sannsynligheten for  $A$  gitt  $B$  ganget med sannsynligheten for  $B$ , summert over alle mulige utfall for  $B$ . Vi kan dermed finne Perkolasjonssannsynligheten ved

$$\Pi(p, L) = \sum_c \Pi(p, L|c)P(c) \quad (51)$$

der vi summer over alle mulige konfigurasjoner  $c$ . Det vil generelt bli et polynom av grad  $L^2$ , men denne teknikken er ikke realistisk i lengden fordi mulige utfall blir veldig stort. Sannsynligheten for konfigurasjonene der en site er fylt, er like, nemlig  $p(1-p)^3$ . Alle disse bidrar null til  $\Pi$  fordi perkolasjon er umulig når kun en site er okkupert. Slik ser det ut for  $L = 1, 2, 3, 4$ :

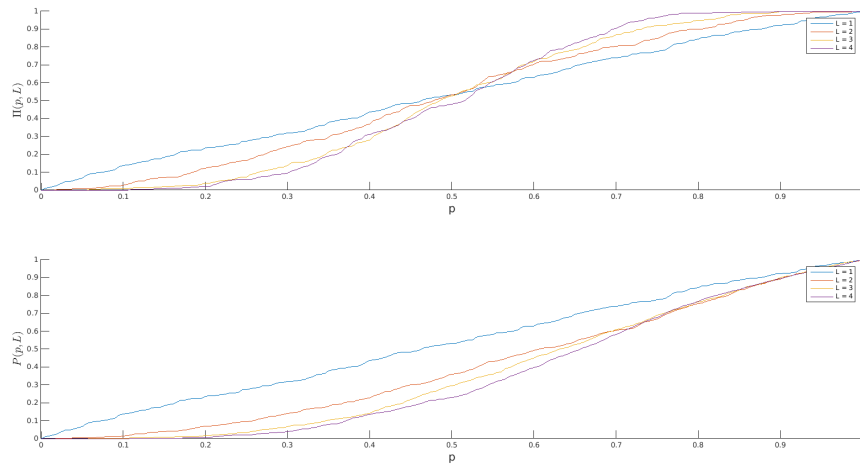


Figure 18: Percolation probability and density of spanning cluster for  $L = 1, 2, 3, 4$

For  $P$  får vi følgende verdier:

$c$	$g_c$	$\hat{P}(c)$	$P(p, 2 c)$
1	1	$p^0(1-p)^4$	0
2	4	$p^1(1-p)^3$	0
3	4	$p^2(1-p)^2$	1/2
4	2	$p^2(1-p)^2$	0
5	4	$p^3(1-p)^1$	3/4
6	1	$p^4(1-p)^0$	1

Table 1: Probabilities for the different configurations  $c$ .  $\hat{P}(c)$  er sannsynligheten for konfigurasjon  $c$ ,  $P(p, 2|c)$  er sannsynligheten for at en site er del av en spanning cluster gitt konfigurasjon  $c$ .

Vi får dermed

$$P(p, 2) = 2p^2(1-p)^2 + 3p^3(1-p) + p^4 \quad (52)$$

### 3.3 12 14 16 Cluster number density in 1d percolation

Define the cluster number density for 1d percolation, and show that it can be measured. Discuss the behaviour when  $p \rightarrow p_c$ . How does it relate to your simulations in two-dimensional systems?

Introduce the characteristic cluster size for the 1-d percolation problem, and discuss their behaviour when  $p \rightarrow p_c$ . Relate to your simulations on two-dimensional percolation

Introduce the cluster number density and its applications: Definition, measurement, scaling and data-collapse.

Cluster number density er definert som sannsynligheten for at en random site er en spesifikk site i en cluster av størrelse  $s$ . For 1d har vi

$$n(s, p) = (1 - p)^2 p^s \quad (53)$$

som betyr at vi må ha  $s$  fylte sites med to tomme sites på hver side.  $sn(s, p)$  er derfor sannsynligheten for at en random site tilhører en cluster av størrelse  $s$ . Vi kan tenke på  $n(s, p)$  som antalltettheten til en cluster av størrelse  $s$ , dvs.

$$\overline{sn(s, p)} = \frac{sN_s}{L^d} \quad (54)$$

der  $N_s$  er antall clusters av størrelse  $s$ , dvs. at  $n(s, p)$  angir hvor mange sites som tilhører clusters av størrelse  $s$  i forhold til totalt antall sites, altså er  $n(s, p)$  cluster-størrelse- distribusjonen.  $n(s, p)$  kan derfor måles slik:

$$\overline{n(s, p)} = \frac{N_s}{L^d} \quad (55)$$

For å få et statistisk godt resultat (størrelsen ovenfor vil variere for hver realisering) må vi måle  $N_s$  mange ganger, mange samples:

$$\overline{n(s, p)} = \frac{N_s(M)}{ML^d} \quad (56)$$

der  $M$  er antall samples eller realiseringer av systemet. Vi forventer at denne verdien ikke er eksakt fordi vi har et endelig antall samples og systemstørrelse  $L$ . Den målte verdien vil gå mot den eksakte når  $M$  og  $L$  går mot uendelig.

Denne distribusjonen er normalisert:

$$p = \sum_{s=0}^{\infty} sn(s, p) + P \quad (57)$$

dvs. at en okkupert site (sannsynlighet  $p$ ) enten er en del av en endelig cluster av størrelse  $s$ , eller del av den uendelige clusteren, som har sannsynlighet  $P$ .

### 3.3.1 Characteristic cluster size

For å se på den direkte  $s$ -avhengigheten for forskjellige  $p$  kan vi plote

$$(1 - p)^{-2} n(s, p) = p^s \quad (58)$$

mot  $s$  for forskjellige  $p$ , som vil se slik ut:

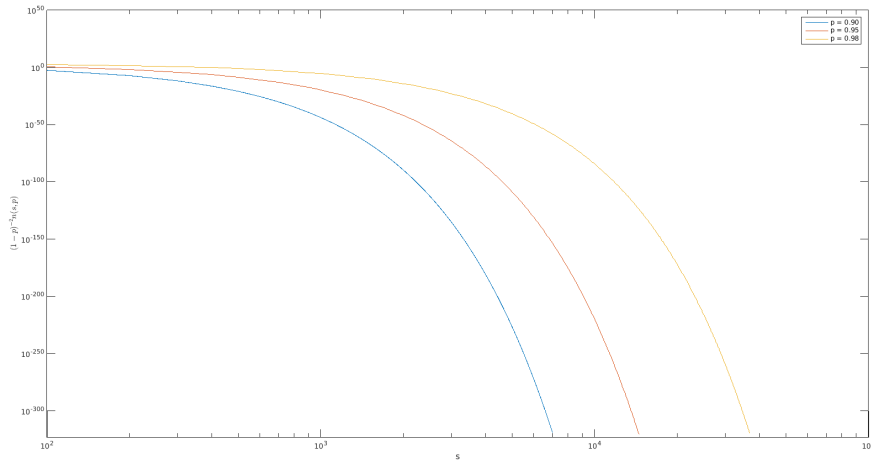


Figure 19: Cluster number density for increasing  $p$

For 1d har vi at  $p_c = 1$ . Vi ser at for alle  $p$  er kurven noenlunde konstant for små  $s$ , før den faller bratt. Vi kan definere en cut-off-størrelse  $s_\xi$ , denne øker når  $p \rightarrow 1$  som vi ser fra plottet. Vi kan skrive  $n(s, p)$  som

$$n(s, p) = (1 - p)^2 e^{s \ln p} = (1 - p)^2 e^{-s/s_\xi} \quad (59)$$

hvor cut-off størrelsen er

$$s_\xi = -\frac{1}{\ln p} \quad (60)$$

Når  $p \rightarrow p_c = 1$  vil  $s_\xi$  divergere. I denne grensen har vi at  $1 - p \ll 1$  og vi kan skrive

$$\ln p = \ln [1 - (1 - p)] \approx -(1 - p) \quad (61)$$

hvor vi har brukt Taylor-ekspansjonen  $\ln(1 - x) = -x + O(x^2)$  rundt  $x = 0$ . Vi får dermed

$$s_\xi \approx \frac{1}{1 - p} = \frac{1}{p_c - p} = |p - p_c|^{-1/\sigma} \quad (62)$$

hvor  $\sigma$  er en universell eksponent, dvs. at den ikke avhenger av lattice-detaljer.

$$s_\xi \propto |p - p_c|^{-1/\sigma} \quad (63)$$

Dette gjelder generelt for perkolasjonsteori, vi har altså denne oppførselen også i to dimensjoner. Vi kan her generere en datakollaps, dvs. at vi kan finne en skaleringsfunksjon ved det kritiske punktet  $p \rightarrow p_c$  som ikke avhenger av  $L$  eller  $p$ , dermed bør alle kurvene i plottet ovenfor falle sammen. Disse skaleringsfunksjonen vil alltid være potensfunksjoner av dimensjonsløse størrelser. Dette oppnår vi ved å plote som en funksjon av  $s/s_\xi$ :

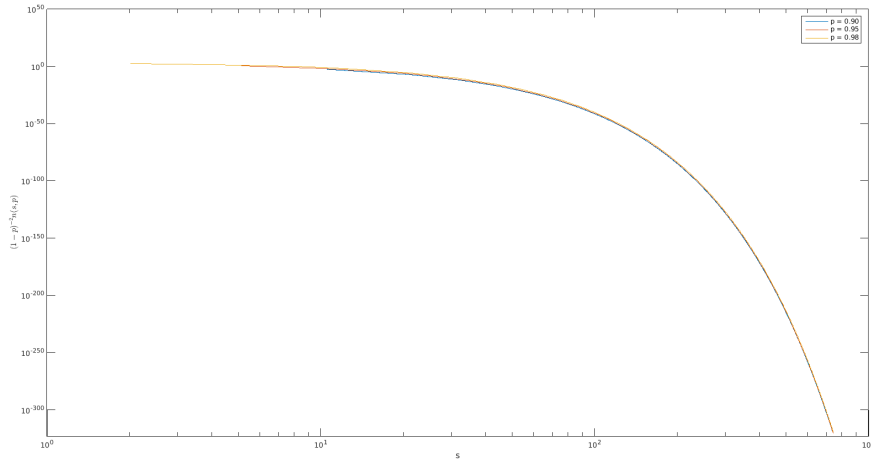


Figure 20: Cluster number density for increasing  $p$

Siden  $s_\xi \approx (1 - p)^{-1}$  har vi at  $(1 - p)^2 = s_\xi^{-2}$  som gir

$$n(s, p) = s_\xi^{-2} e^{-s/s_\xi} = s^{-2} (s/s_\xi)^2 e^{-s/s_\xi} = s^{-2} F(s/s_\xi) \quad (64)$$

der  $F(u) = u^2 e^{-u}$  er skaleringsfunksjonen. Dette gjelder også for alle dimensjoner:

$$n(s, p) = s^{-\tau} F(s/s_\xi) \quad (65)$$

bare med andre verdier for  $\tau$ , som også er en universell eksponent. Denne formen ser vi fra simulasjoner i 2d.

### 3.3.2 Numerical measurement

Vi måler  $n(s, p)$  på noenlunde samme måte som for  $P(p, L)$ . Vi bruker area-funksjonen for å finne massen til alle clusters for ulike  $p$ , etter vi har fjernet spanning cluster. Dette gjør vi  $M$  ganger, for hver  $M$  legger vi til area-vektoren til en total vektor:

```
% find and remove spanning cluster
top = lw(1, :);
bottom = lw(L, :);
left = lw(:, 1);
right = lw(:, L);
tb = intersect(top, bottom);
```

```

lf = intersect(left , right );
sc = union(tb , lf );
% remove sites that are not part of clusters
% sc now contains the indicies of eventual spanning clusters
sc = sc(sc~=0);
if ~isempty(sc);
    for k = 1:length(sc);
        % remove spanning clusters
        %length(sc)
        lw = lw(lw ~= sc(k));
    end
end

% find distribution of cluster sizes
s = regionprops(lw, 'Area');
% area contains number of sites in all clusters
area = cat(1, s.Area);
allarea = cat(1, allarea , area);

```

*allarea* inneholder nå massen til alle clusterne målt  $M$  ganger. Vi finner  $N_s$  ved å lage et histogram over denne vektoren:

```
[n,s] = hist(allarea , L^2)
```

der vi bruker  $L^2$  bins slik at det blir en bin per cluster-størrelse  $s$ .  $n$  angir hvor mange clusters som er i hver bin, altså  $N_s$ . Til slutt finner vi  $n(s,p)$  slik:

```
nsp = n / (L*M)
```

som i (56). Vi måler  $n(s,p)$  på akkurat samme måte i 2d, bare at da bruker vi logaritmisk binning. Dvs. at binkantene er gitt som  $a^i$  der  $a$  er basis for binsene og  $i$  er binnummeret. Binene øker altså i størrelse med nummeret. Vi må da huske på å dele med binstørrelsen:

$$\overline{n(s_i, p, L)} = \frac{N_i}{ML^d \Delta s_i} \quad (66)$$

### 3.3.3 Scaling and data collapse in 2d

I 2d ser  $n(s,p)$  slik ut når  $p \rightarrow p_c$ :

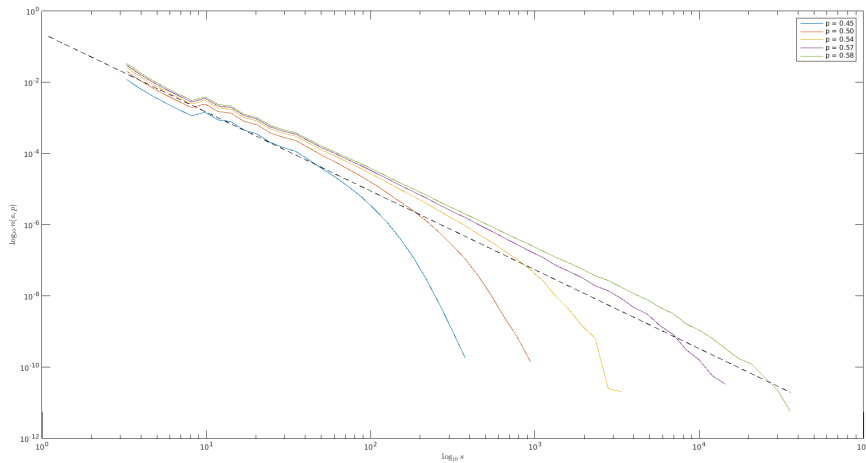


Figure 21: Cluster number density for increasing  $p$

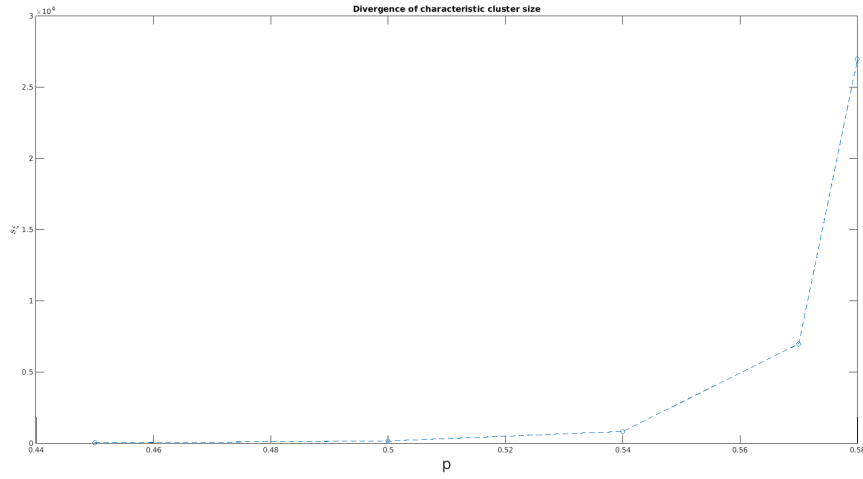


Figure 22: Divergence of  $s_\xi \propto |p - p_c|^{-1/\sigma}$

Vi ser at  $n(s, p)$  har samme form i 1d som i 2d.  $n(s, p) \propto s^{-\tau}$  for små  $s$ , følger altså en potenslov, fram til  $s_\xi$ , der den faller bratt. Skjæringslinja er senket med en faktor halv, og skjæringspunktene angir  $s_\xi$  for økende  $p$ . Når vi så plotter  $s_\xi$  mot  $p$ , ser vi at  $s_\xi \propto |p - p_c|^{-1/\sigma}$  som i 1d, og  $\sigma$  kan regnes ut ved å gjøre en 1d polynomisk fit. Vi har altså følgende skaleringsteori for  $n(s, p)$ :

$$n(s, p) = n(s, p_c) F(s/s_\xi) \quad (67)$$

$$n(s, p_c) = C s^{-\tau} \quad (68)$$

$$s_\xi = s_0 |p - p_c|^{-1/\sigma} \quad (69)$$

Vi kan finne  $\tau$  ved å gjøre en lineær fit for  $n(s, p)$  når  $p \rightarrow p_c$  før vi når  $s_\xi$ .  $\sigma$  finner vi som beskrevet ovenfor vha. skjæringspunkter osv. Også her kan vi gjøre en datakollaps for å finne skaleringsfunksjonen  $F(s/s_\xi)$ . Vi kan skrive

$$n(s, p) = s^{-\tau} F(s(p - p_c)^{1/\sigma}) \quad (70)$$

Hvis vi nå plotter  $s^\tau n(s, p)$  mot  $s(p - p_c)^{1/\sigma}$ , vil vi få en datakollaps fordi vi da blir kvitt  $p$ -avhengigheten, skaleringsfunksjonen er uavhengig av  $p$ :

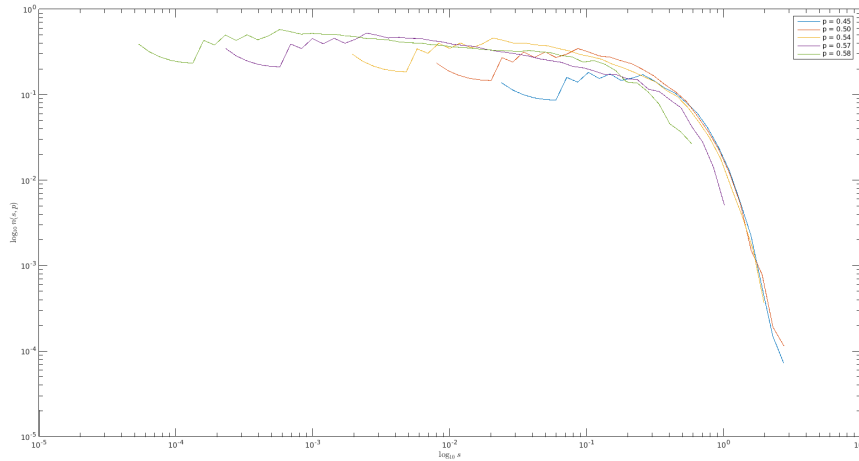


Figure 23: Cluster number density for increasing  $p$

SKRIVE NOE OM AT VI KAN BRUKE  $N(S, P)$  TIL Å REGNE UT GJ.SN. CLUSTER-STØRRELSE?

### 3.4 13 Correlation length in 1d percolation

Define the correlation length  $\xi$  for 1d percolation. Discuss its behaviour when  $p \rightarrow p_c$ . How is it related to cluster geometry and your results for 2d percolation?

The characteristic cluster size  $s_\xi$  sier noe om massen til en cluster. Vil vil også gjerne si noe om størrelsen eller utstrekningen til en cluster. For karakterisere lineær utstrekning av en kluster bruker vi korrelasjonsfunksjonen  $g(r)$ :

$g(r)$  er sannsynligheten for at to sites  $a$  og  $b$ , som begge er okkupert og og separert ved en distanse  $r$  tilhører samme cluster.

For 1d perkolasjon kan  $a$  og  $b$  bare være del av samme cluster dersom alle sites mellom er fylt. Dersom  $r$  er antall sites mellom  $a$  og  $b$  (teller ikke med start- og sluttposisjon), så er korrelasjonsfunksjonen

$$g(r) = p^r = e^{r \ln p} = e^{-r/\xi} \quad (71)$$

der  $\xi = -1/\ln p$  er korrelasjonslengden, dvs. cut-off for  $g(r)$ . Vi har at

$$\ln p \simeq -(1-p) \quad (72)$$

der vi har ekspandert  $\ln(1-x)$  på samme måte som ovenfor. Vi har altså at

$$\xi = \frac{1}{1-p} = \frac{1}{p_c - p} = \xi_0 |p - p_c|^{-\nu} \quad (73)$$

med  $\nu = 1$ , som igjen er en universell eksponent som  $\tau$  og  $\sigma$ , men  $\nu$  avhenger av dimensjonen  $d$ . Vi ser at  $\xi$  divergerer som en potenslov når  $p \rightarrow p_c$ , akkurat som  $s_\xi$ .

#### 3.4.1 Finite system effects

Så lenge  $\xi \ll L$ , vil vi ikke merke noe effekt av den endelige systemstørrelsen  $L$  fordi ingen cluster er store nok til å legge merke til den endelige størrelsen. Dersom  $\xi \gg L$  derimot, er oppførselen til systemet dominert av  $L$ , og det vil se ut som om vi har perkolasjon selv om vi muligens ikke har det, det blir umulig å avgjøre hvor nære vi er perkolasjon. Til nå har vi ikke tatt med at den øvre grensen for clusterstørrelse er  $L$  og ikke  $\infty$ .

#### 3.4.2 2d størrelse på clusters - radius of gyration

I 2d bruker vi radius of gyration (rotasjonsradius) som et mål på størrelsen eller utstrekningen til en cluster. Rotasjonsradiusen er standardavviket i posisjon for en cluster. Rotasjonsradiusen  $R_i$  for en cluster  $i$  av størrelse  $s_i$  med sites  $\mathbf{r}_j$  for  $j = 1, \dots, s_i$  er definert som

$$R_i^2 = \frac{1}{s_i} \sum_{j=1}^{s_i} (\mathbf{r}_j - \mathbf{r}_{cm,i})^2 \quad (74)$$

der  $\mathbf{r}_{cm,i}$  er massesenteret til cluster  $i$ . En ekvivalent definisjon er

$$R_i^2 = \frac{1}{2s_i} \sum_{n,m} (\mathbf{r}_n - \mathbf{r}_m)^2 \quad (75)$$

der summen går over alle sites  $n$  og  $m$  i cluster  $i$ , og vi må dele på antall ledd ganger 2  $2s_i^2$  fordi alle sites telles to ganger. For å finne en karakteristisk radius  $R_s$  for en gitt cluster-størrelse  $s$  midler vi over alle clusters med samme størrelse  $s$

$$R_s^2 = \langle R_i^2 \rangle_i \quad (76)$$

For 1d er det bare en cluster for hver størrelse  $s$ , slik at  $R_s^2 = R_i^2$ :

$$R_s^2 = \frac{1}{s} \sum_{i=1}^s (i - s/2)^2 \quad (77)$$

og vi får at

$$s \propto R_s \quad (78)$$

i 1d. I 2d kan dette gjøres numerisk: Vi finner  $R_i^2$  for alle clusters i en lattice  $L \times L$ , og deretter midlet radius  $R_s^2$  for alle  $s$  med logaritmisk binning. Dette gjøres for flere  $p$ . Resultatet er

$$s \propto R_s^D \quad (79)$$



der  $D = 1.89$  for 2d er dimensjonen til clusteren, fordi vi generelt har at masse (areal) og radius er relatert  $M \propto R^d$ . En ikke-heltallsdimensjon viser at en cluster ved  $p \rightarrow p_c$  er et fraktal. For hver verdi av  $p$  har vi en karakteristisk masse  $s_\xi$  og radius  $R_{s_\xi}$  som er relatert

$$s_\xi = R_{s_\xi}^D \quad (80)$$

Vi har dermed følgende skalering

$$R_{s_\xi} \propto (p - p_c)^{-1/\sigma D} \quad (81)$$

der  $\nu = 1/\sigma D$  er enda en universell eksponent. Vi kunne ha operert med gj.snittlige radius  $R$  istedenfor en cut-off radius  $R_{s_\xi}$ , men etter mye utregninger kan vi vise at

$$R \propto R_{s_\xi} \quad (82)$$

vi trenger derfor bare operere med en av dem.  $R_{s_\xi}$  er altså en cut-off-radius for en cluster av størrelse  $s$  for en gitt  $p$  og  $L$ , mens  $R$  er en gj.snittlig radius for en cluster av størrelse  $s$  for en gitt  $p$  og  $L$ . Begge disse divergerer når  $p \rightarrow p_c$ .

### 3.4.3 2d størrelse på clusters - korrelasjonslengde

Vi kan også finne størrelsen av clusters ved korrelasjonslengden, som vi kan definere her som gj.sn. kvadratisk avstand mellom to sites  $i$  og  $j$  som tilhører samme cluster. Korrelasjonsfunksjonen  $g(r)$  har den generell skaleringsformen

$$g(r) = r^x f(r/\xi) \quad (83)$$

der  $x = 0$  for 1d, som vi har sett ovenfor, og  $f(r/\xi) = e^{-r/\xi}$ .  $f(u)$  går raskt mot null når  $u > 1$ , mens for  $u < 1$  er den cirka konstant. Etter mye utregninger kommer vi fram til at

$$\xi \propto R \propto R_{s_\xi} \propto |p - p_c|^{-\nu} \propto s_\xi^{-D} \quad (84)$$

$\xi$  er altså gj.sn. kvadrert avstand mellom to sites i en cluster, mens  $R$ -ene er gj.sn. standardavvik i posisjoner for en cluster av størrelse  $s$ . Forøvrig har vi at

$$M(p, L) \propto L^D \quad (85)$$

fordi vi kan velge  $L = \xi(p)$  for en gitt  $p$ . Dermed har vi at

$$P(p, L) = \frac{M(p, L)}{L^d} \propto L^{D-d} \quad (86)$$

og vi ser at tettheten avhenger av systemstørrelsen  $L$ , dvs. at clusteren er et fraktal. Vi har følgende skalering for  $M$ :

$$M(p, L) \propto \begin{cases} L^D, & L \ll \xi \\ \xi^{D-d} L^d & L \gg \xi \end{cases} \quad (87)$$

## 3.5 17. Finite size scaling of $\Pi(p, L)$

*Discuss the behaviour of  $\Pi(p, L)$  in a system with a finite system size  $L$ . How can we use this to find the scaling exponent  $\nu$  and the percolation threshold  $p_c$ ?*